

図 92 元素分析結果 (1号機2階⑩床ネル布試料、コンクリート片)

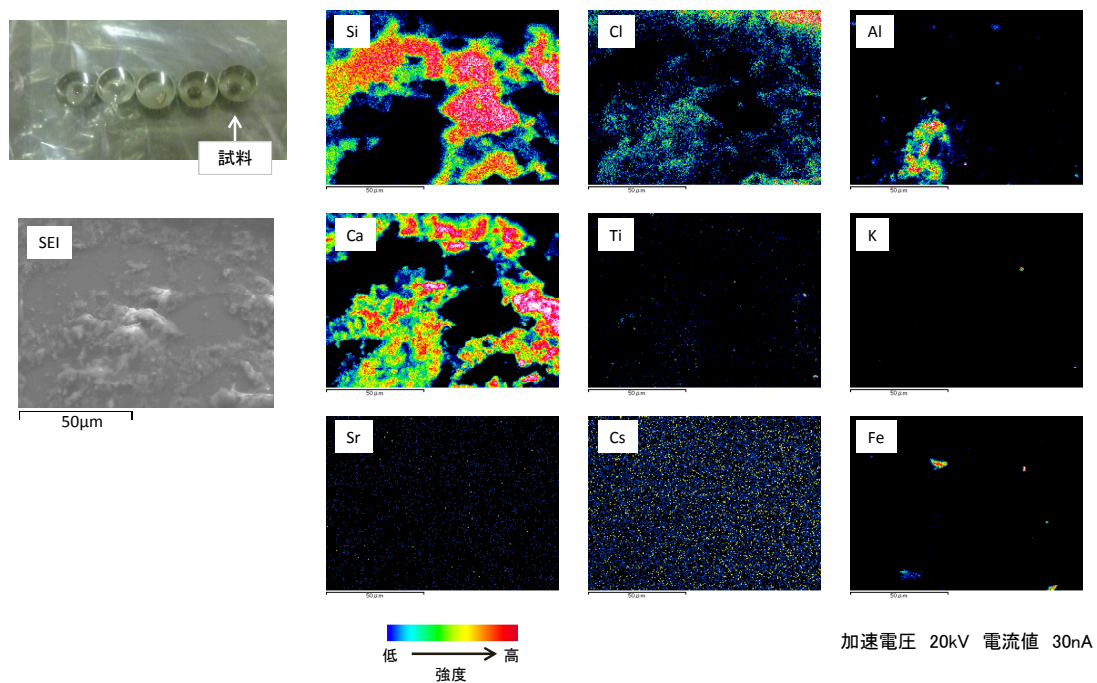


図 93 元素分析結果 (1号機2階⑩床ネル布試料、コンクリート片)

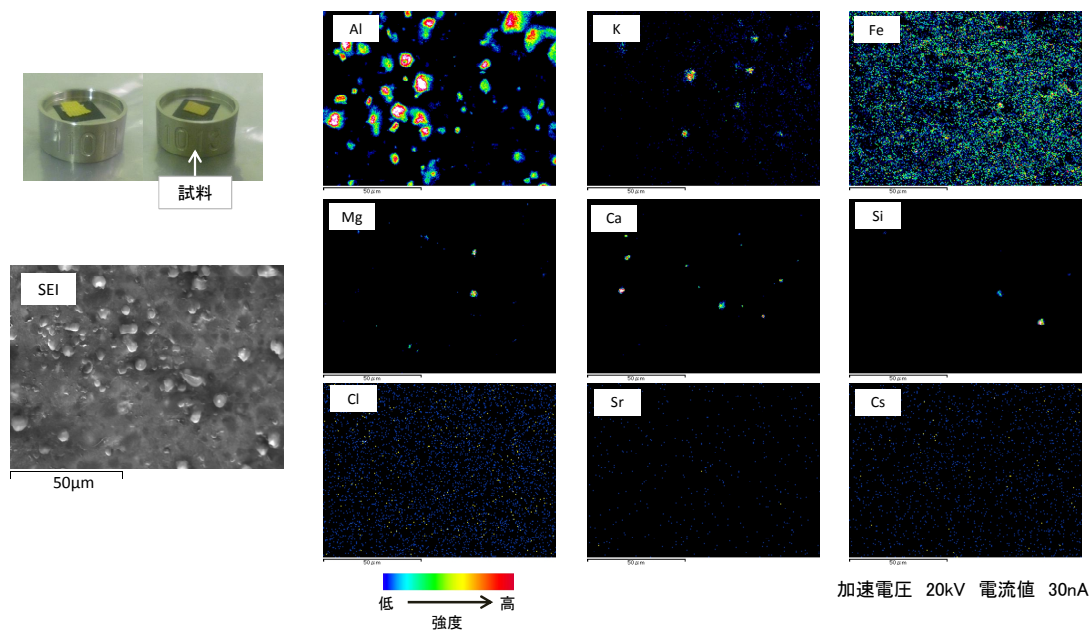


図 94 元素分析結果 (1号機 2階⑩床 SP (中央部) 試料)

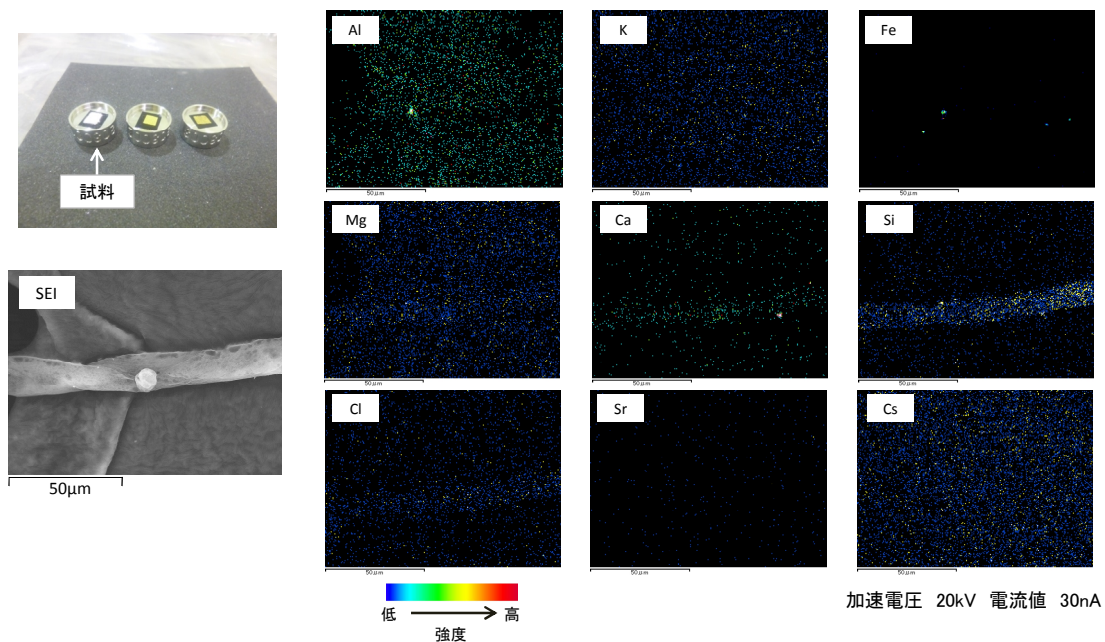


図 95 元素分析結果 (2号機 1階①床 ネル布試料)

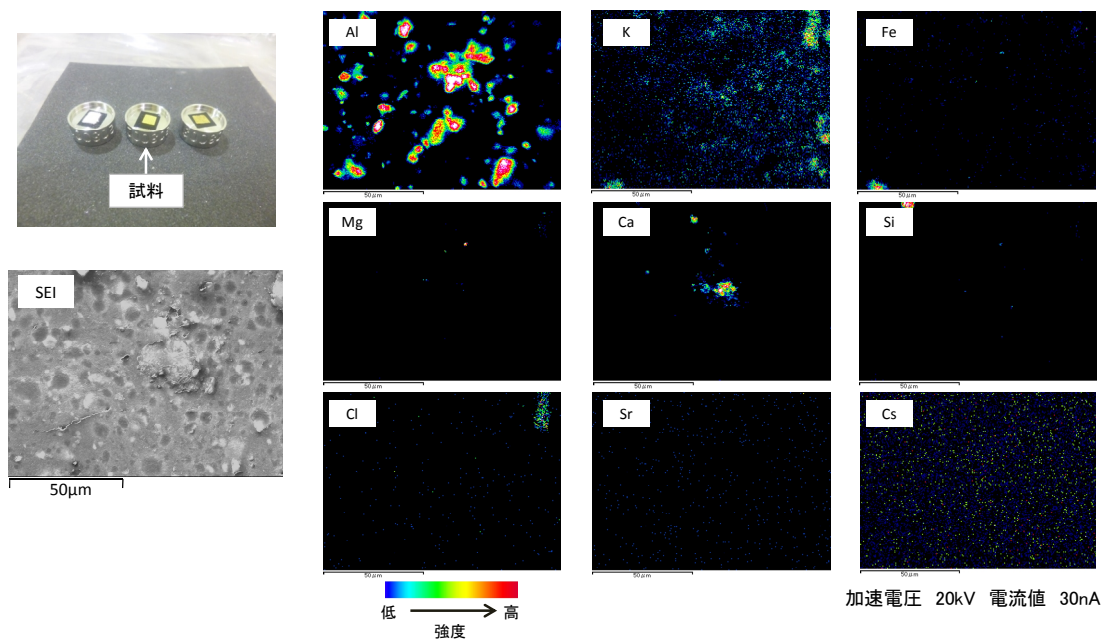


図 96 元素分析結果 (2号機 1階①床 SP (中央部) 試料)

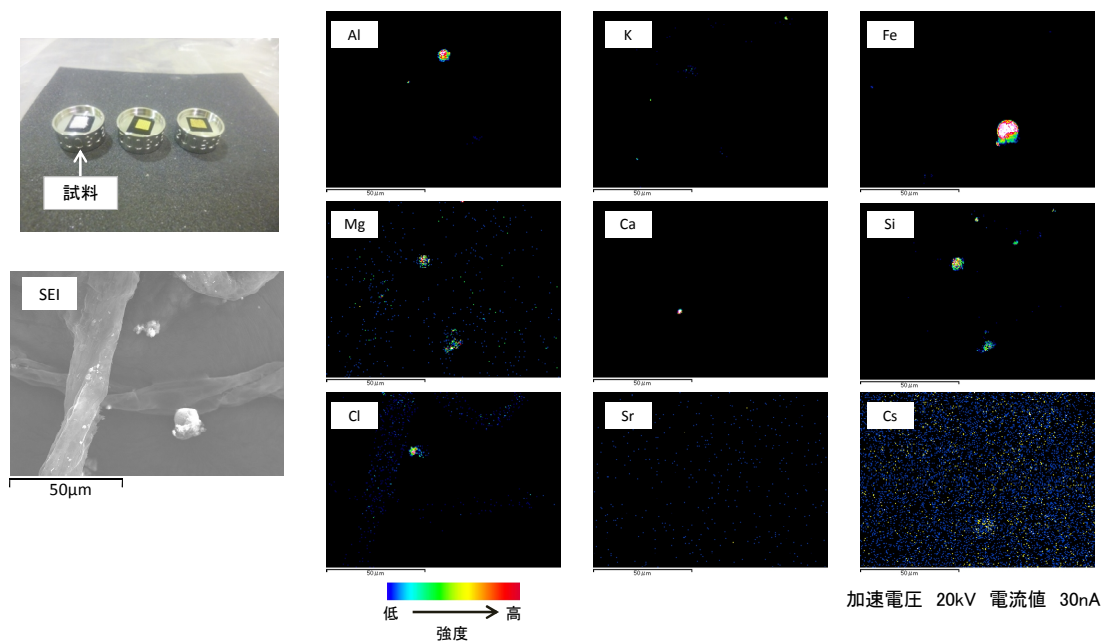


図 97 元素分析結果 (2号機 2階③床 ネル布試料)

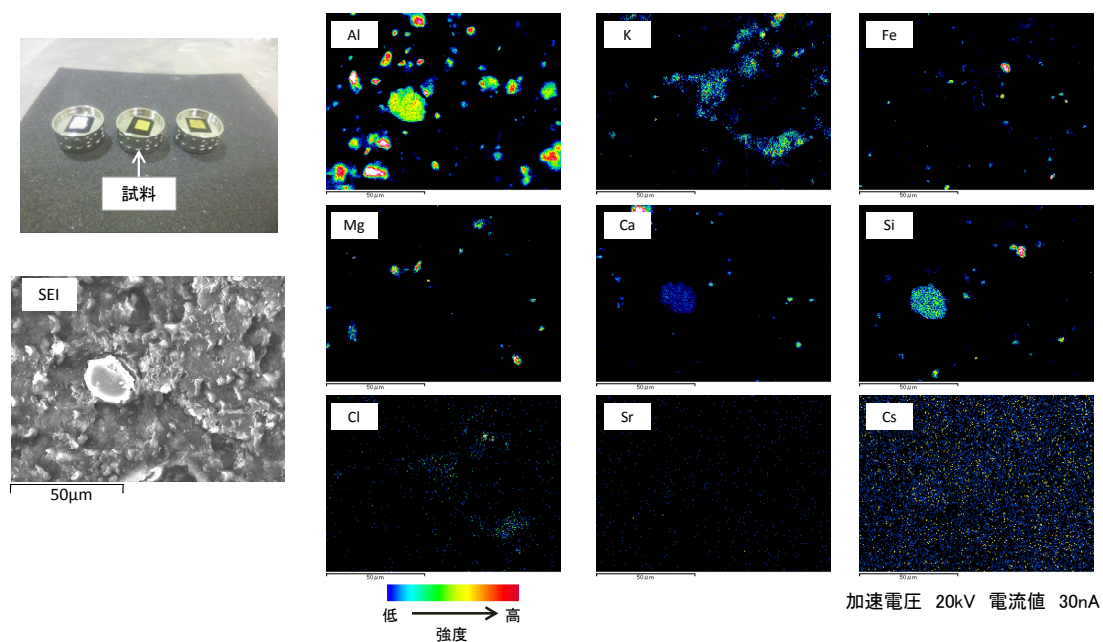


図 98 元素分析結果 (2号機 2階③床 SP (中央部) 試料)

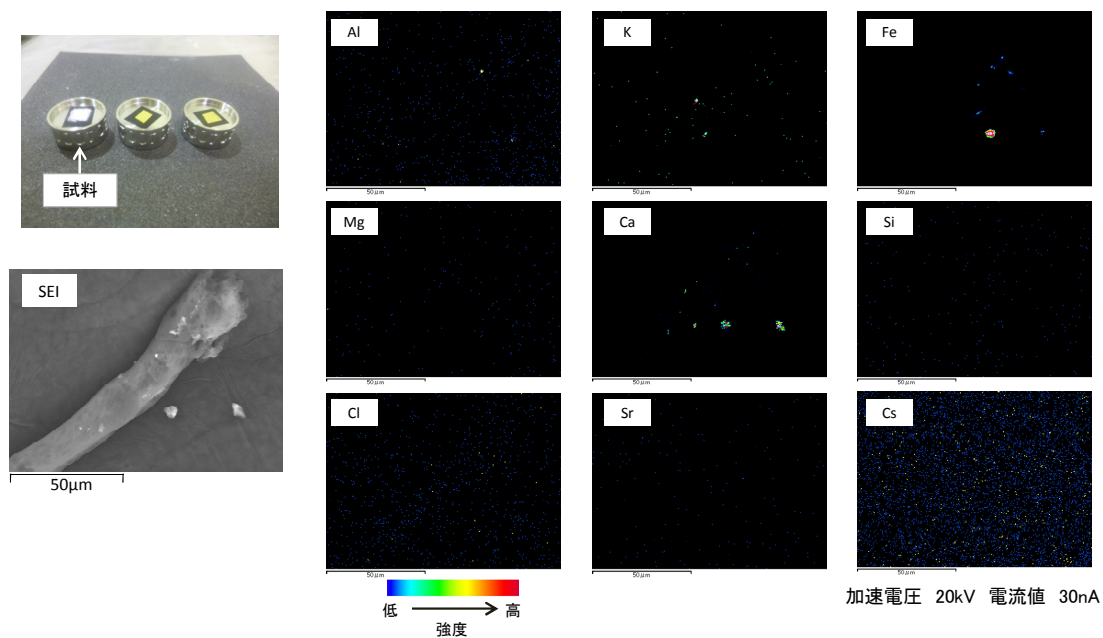


図 99 元素分析結果 (2号機 3階④床 ネル布試料)

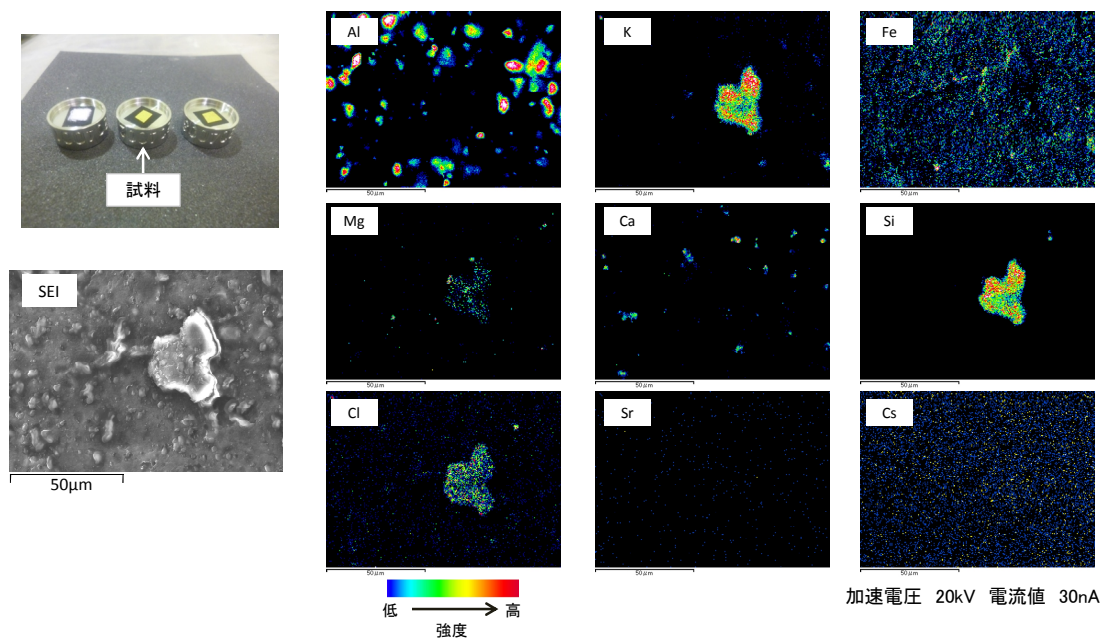


図 100 元素分析結果 (2号機3階④床 SP (中央部) 試料)

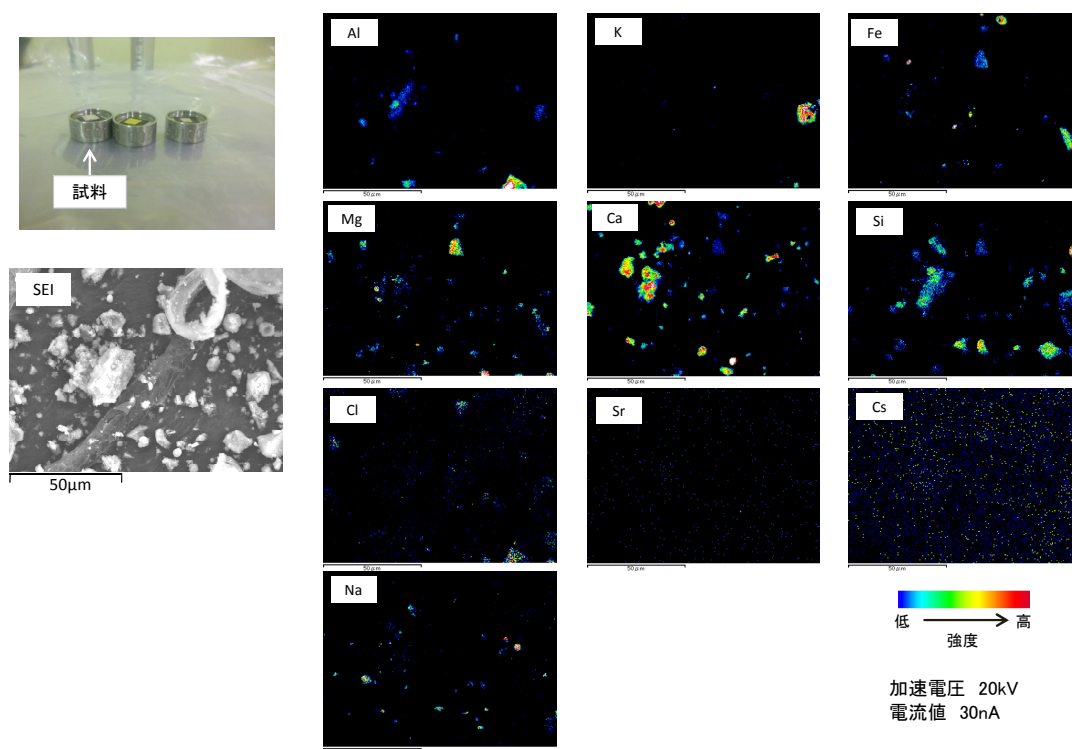


図 101 元素分析結果 (3号機①床 ネル布試料)

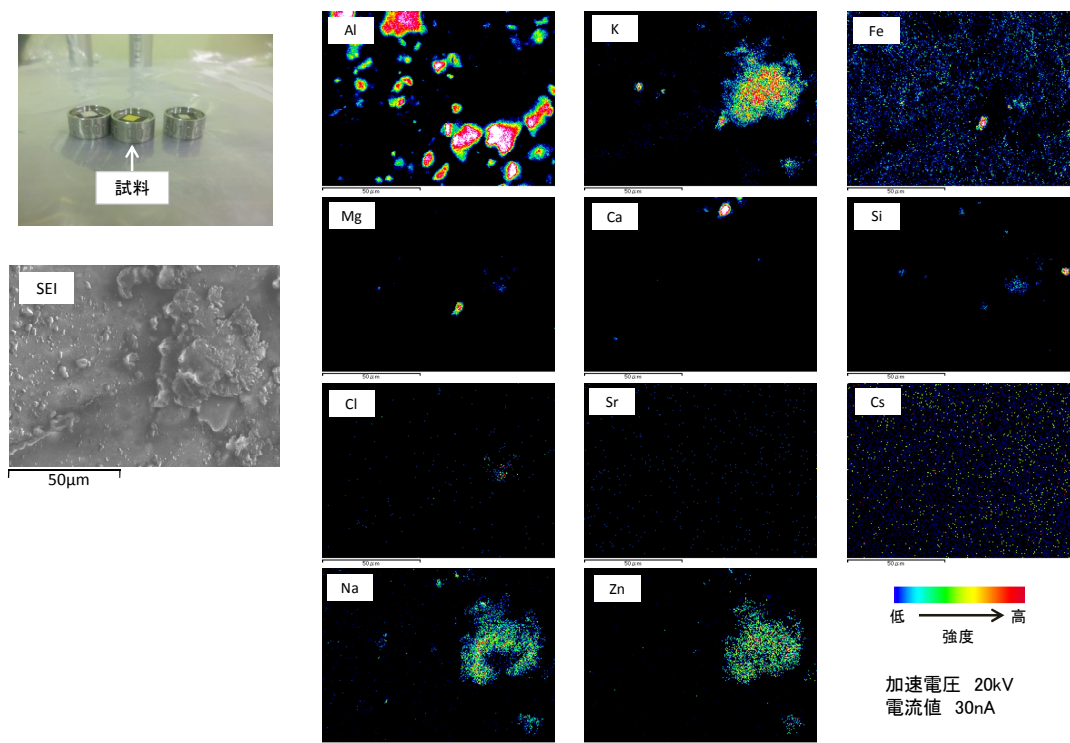


図 102 元素分析結果 (3号機①床 SP (中央部) 試料)

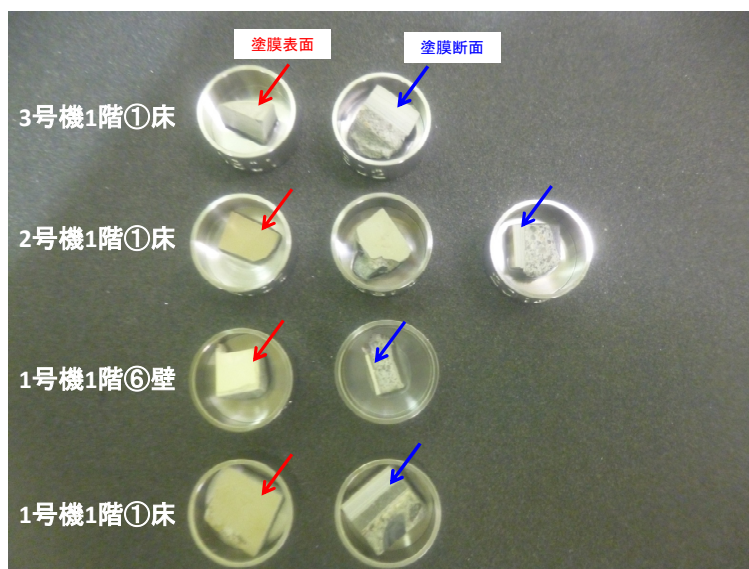


図 103 ボーリングコアの FE-SEM 用試料の外観

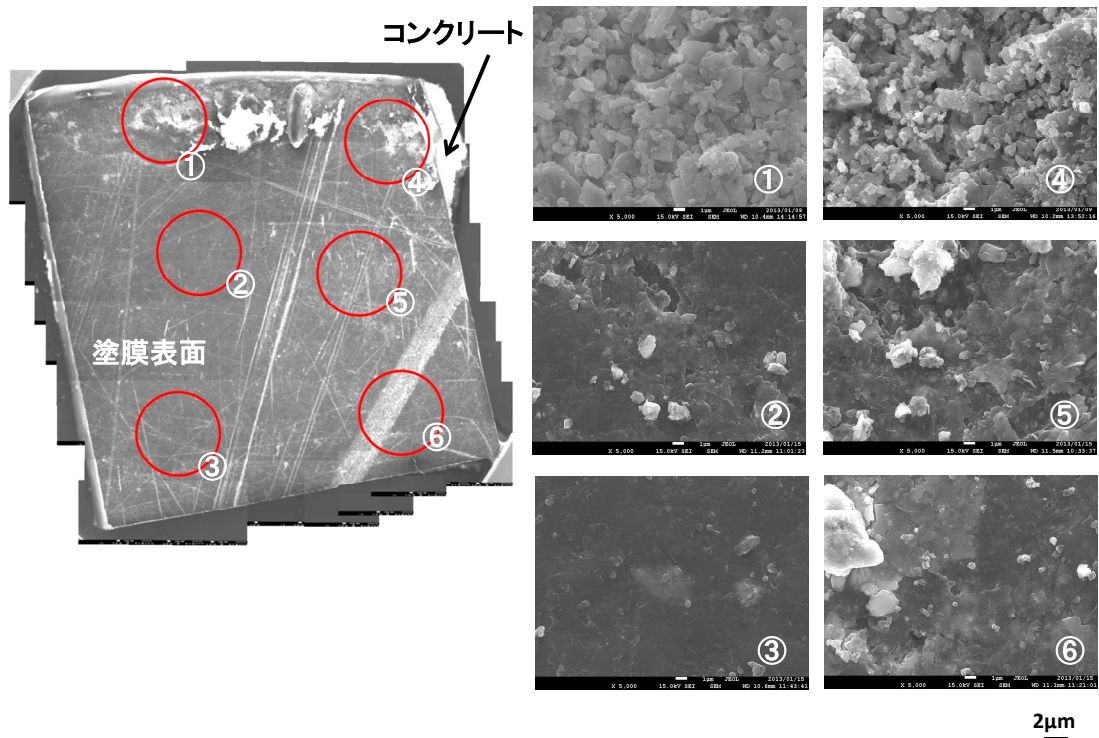


図 104 ボーリングコア塗膜表面の SEM 観察結果 (1 号機 1 階①床)

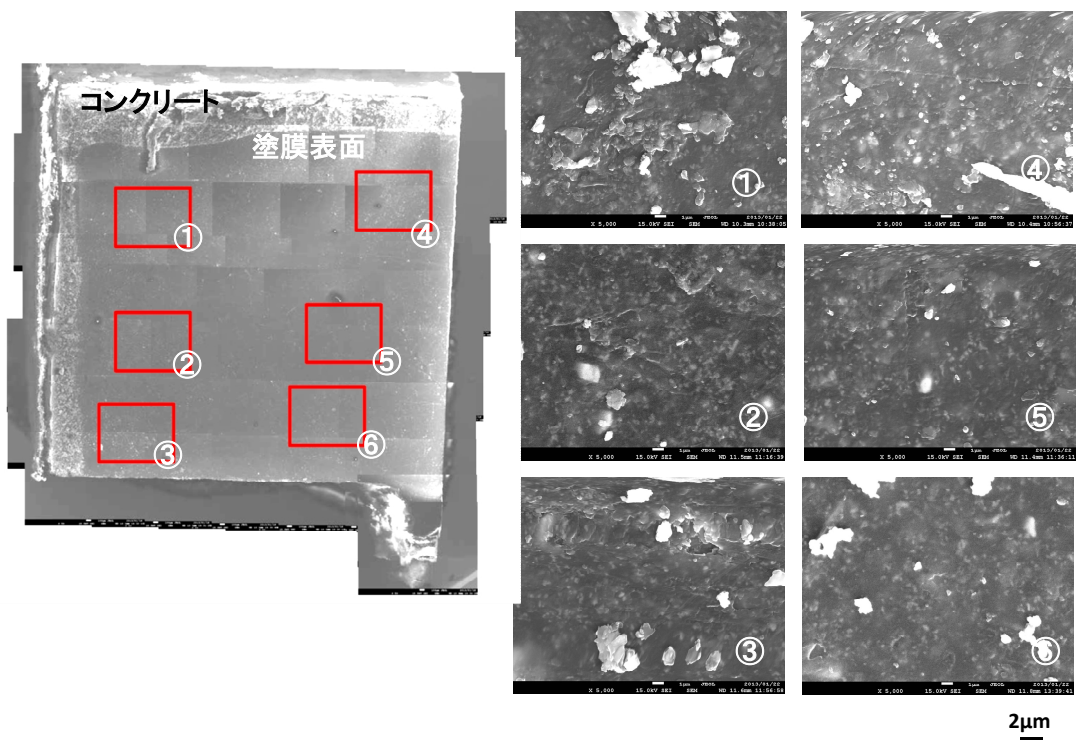


図 105 ボーリングコア塗膜表面の SEM 観察結果 (1 号機 1 階⑥壁)

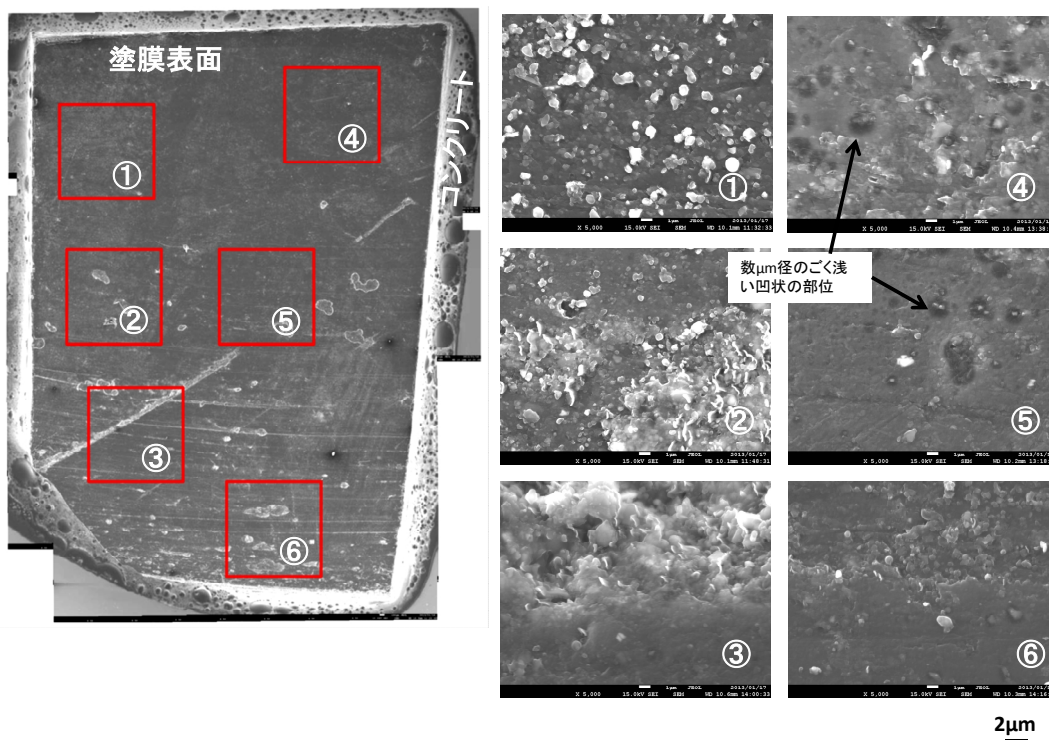


図 106 ボーリングコア塗膜表面の SEM 観察結果 (2号機 1階①床)

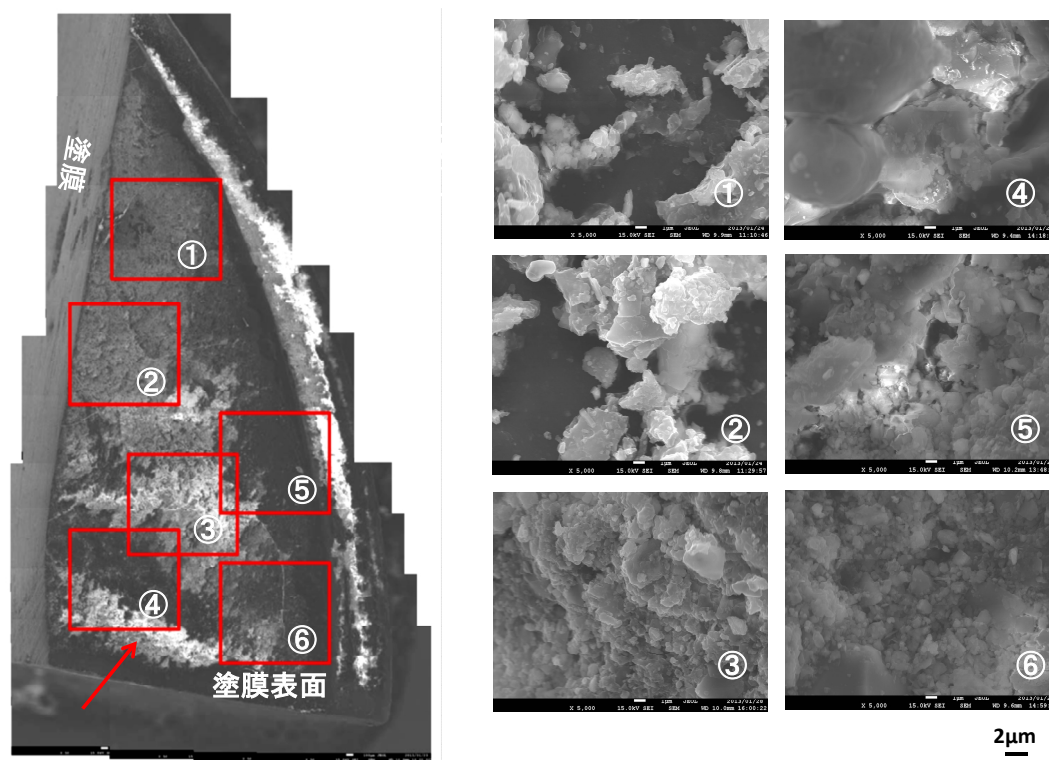


図 107 ボーリングコア塗膜表面の SEM 観察結果 (3号機 1階①床)

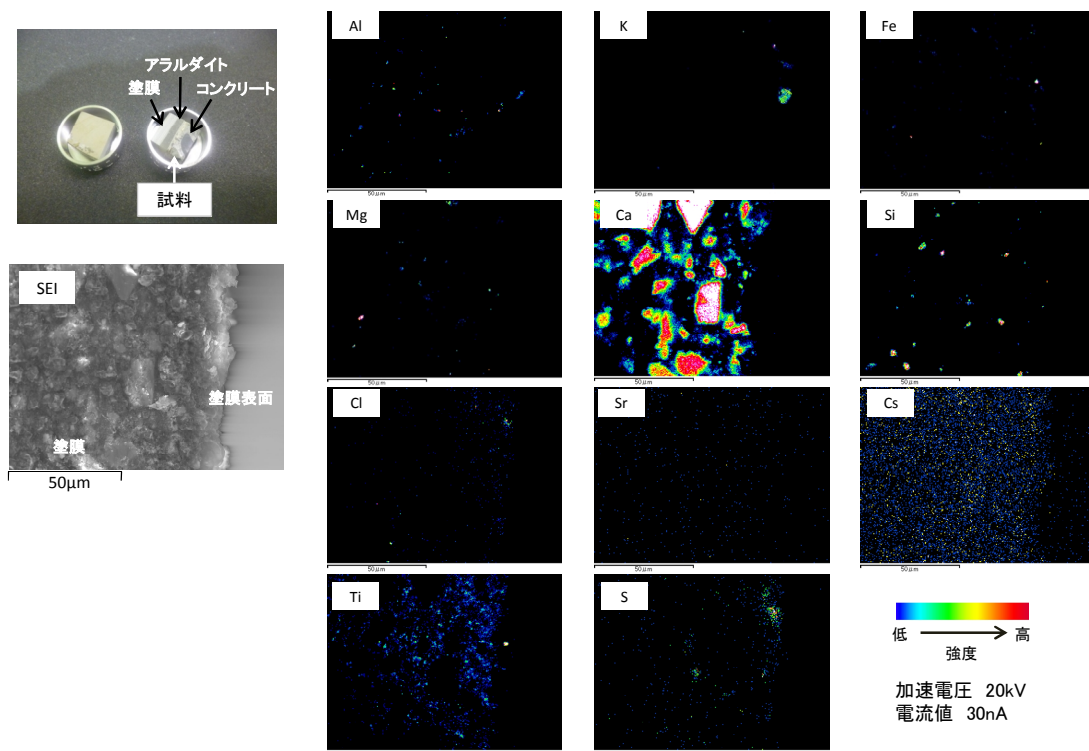


図 108 元素分析結果 (1号機1階①床ボーリングコア試料 (塗膜表面))

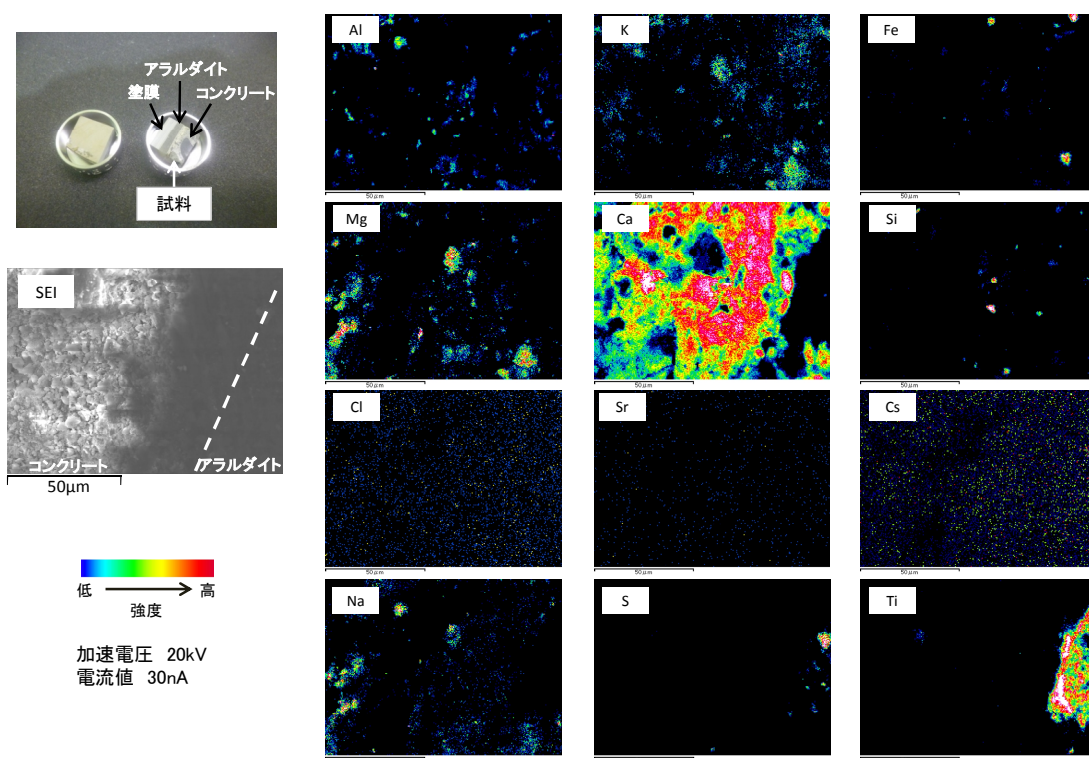


図 109 元素分析結果 (1号機1階①床ボーリングコア試料 (接着剤-コンクリート境界))

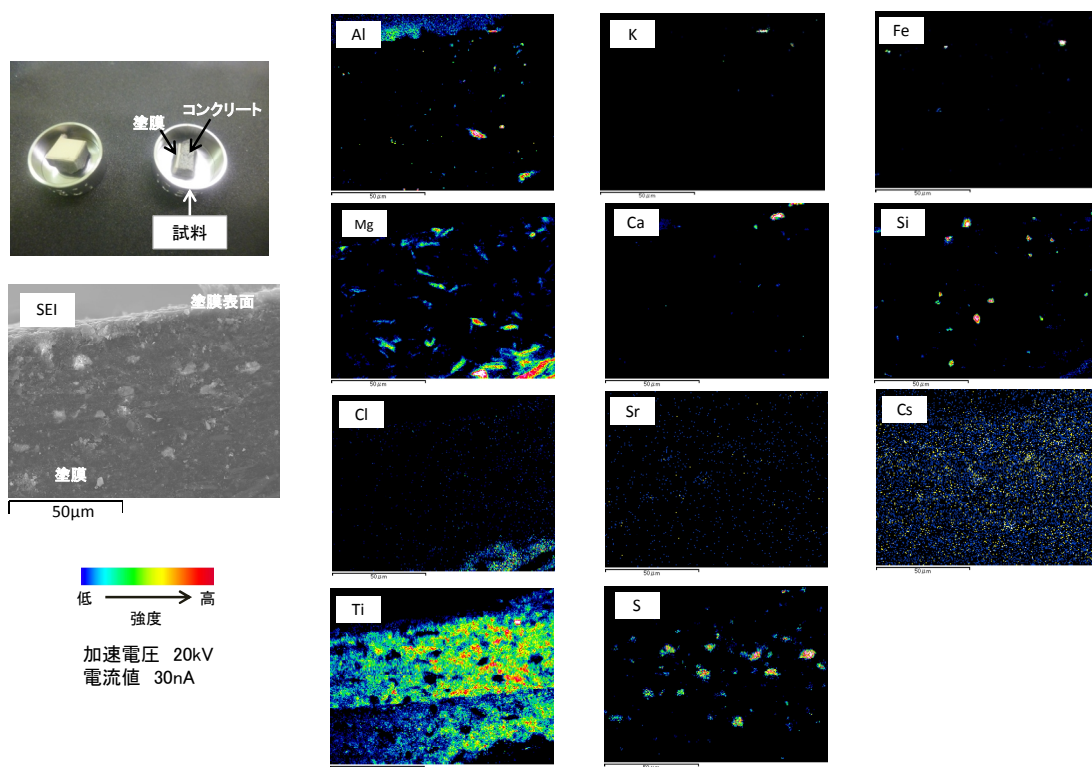


図 110 元素分析結果 (1号機1階⑥壁ボーリングコア試料 (塗膜表面))

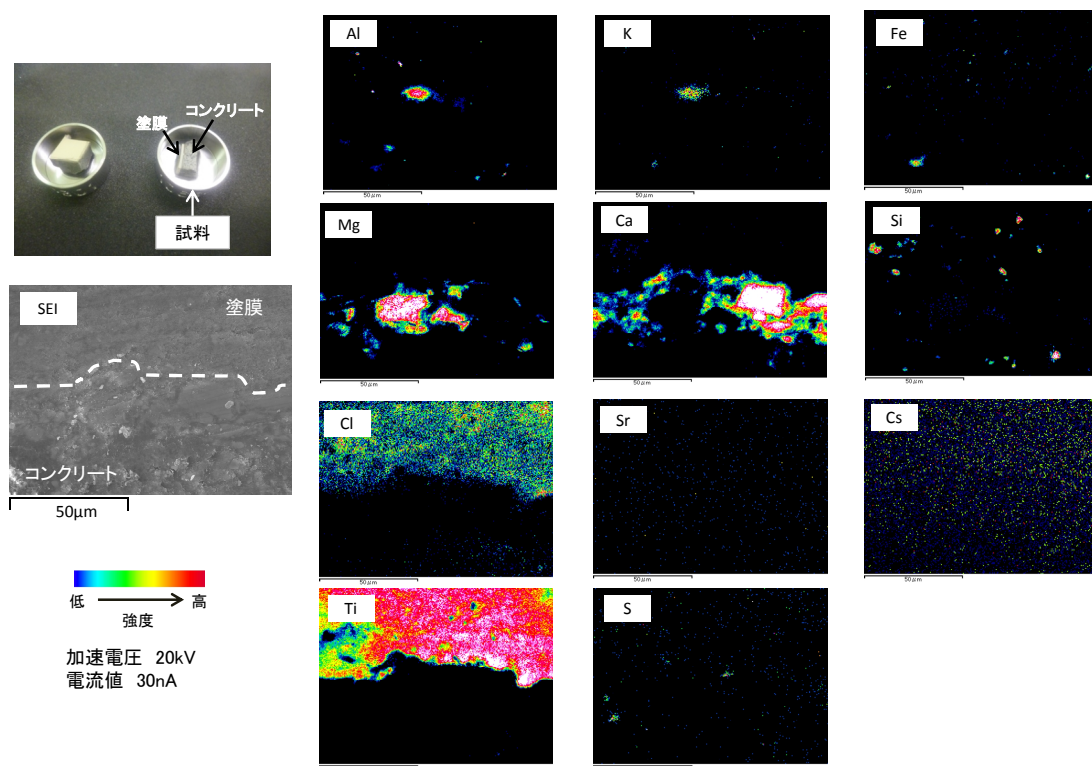


図 111 元素分析結果 (1号機1階⑥壁ボーリングコア試料 (塗膜-コンクリート境界))

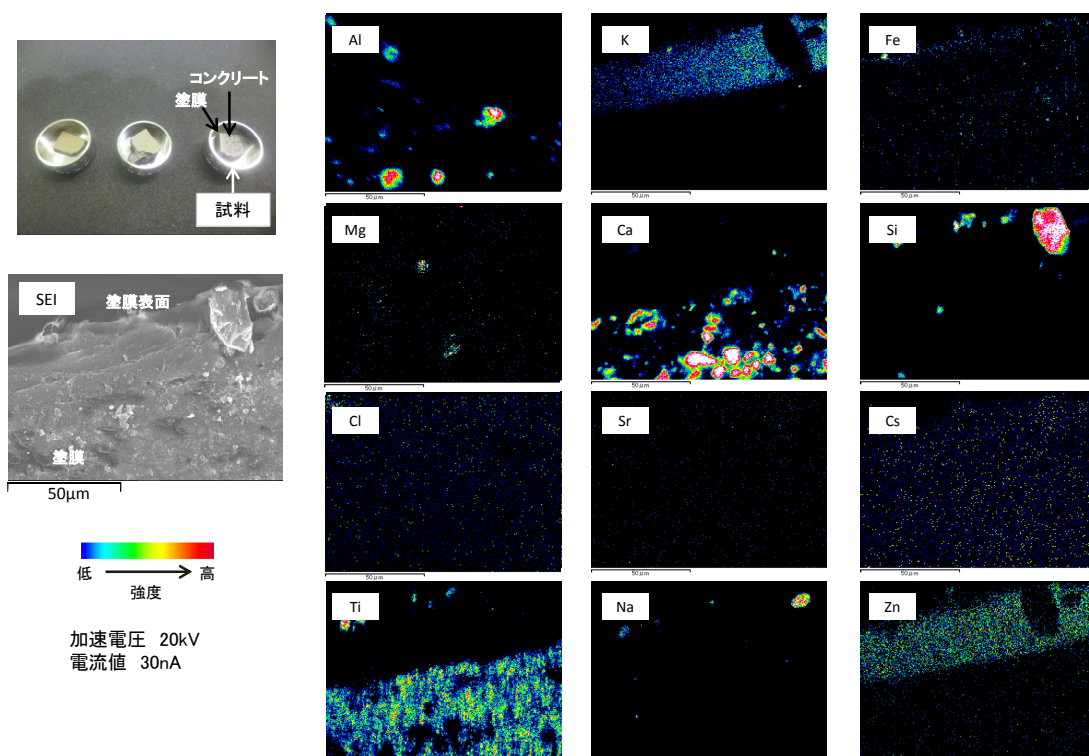


図 112 元素分析結果 (2号機1階①床ボーリングコア試料 (塗膜表面))

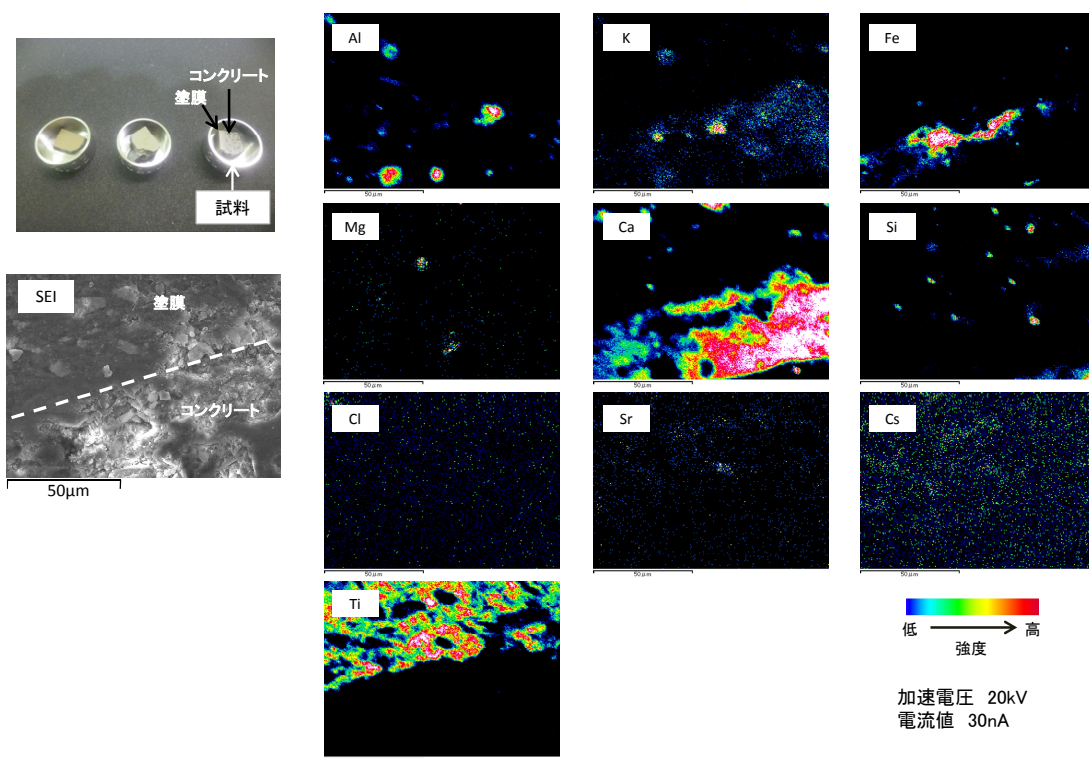


図 113 元素分析結果 (2号機1階①床ボーリングコア試料 (塗膜-コンクリート境界))

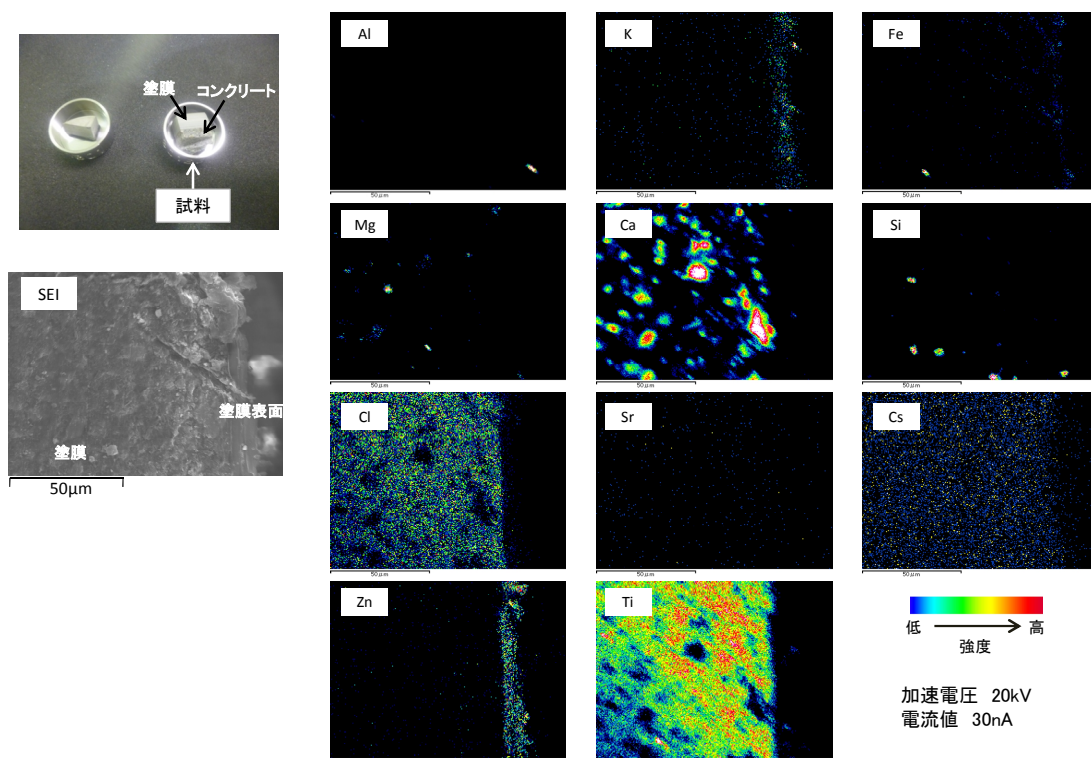


図 114 元素分析結果 (3号機1階①床ボーリングコア試料 (塗膜表面))

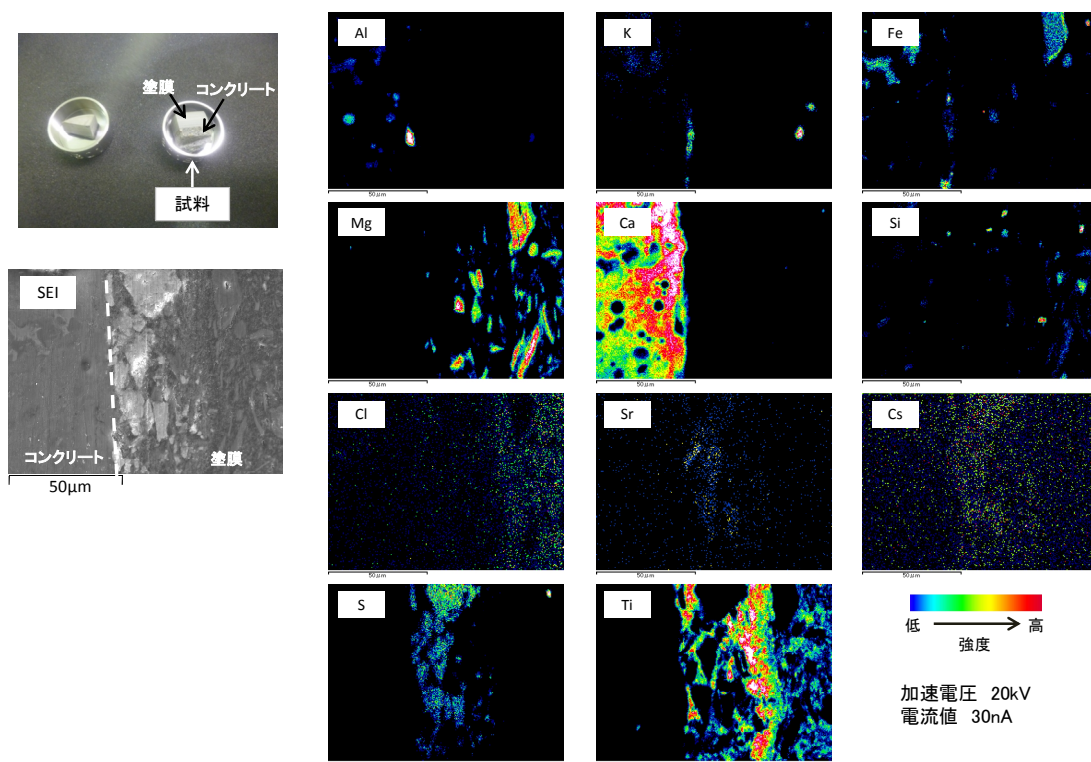


図 115 元素分析結果 (3号機1階①床ボーリングコア試料 (塗膜-コンクリート境界))

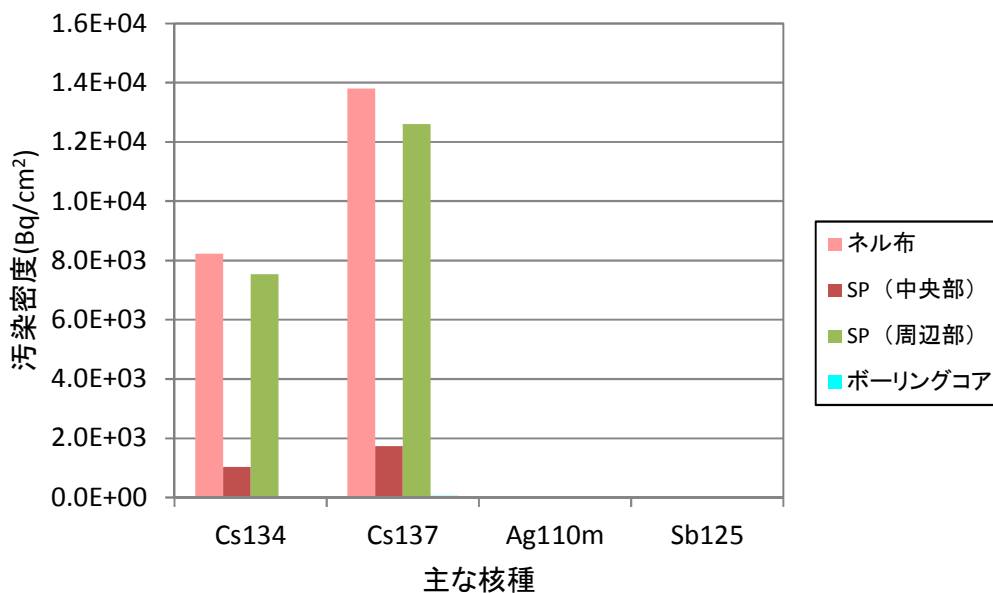


図 116 汚染密度の比較 (1号機1階①床サンプル)

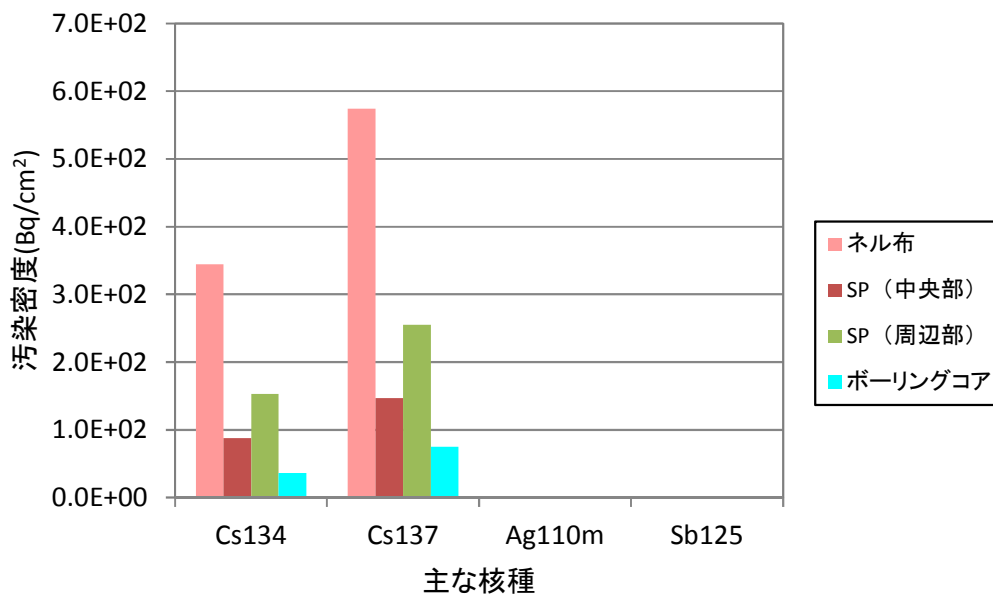


図 117 汚染密度の比較 (1号機1階⑥壁サンプル)

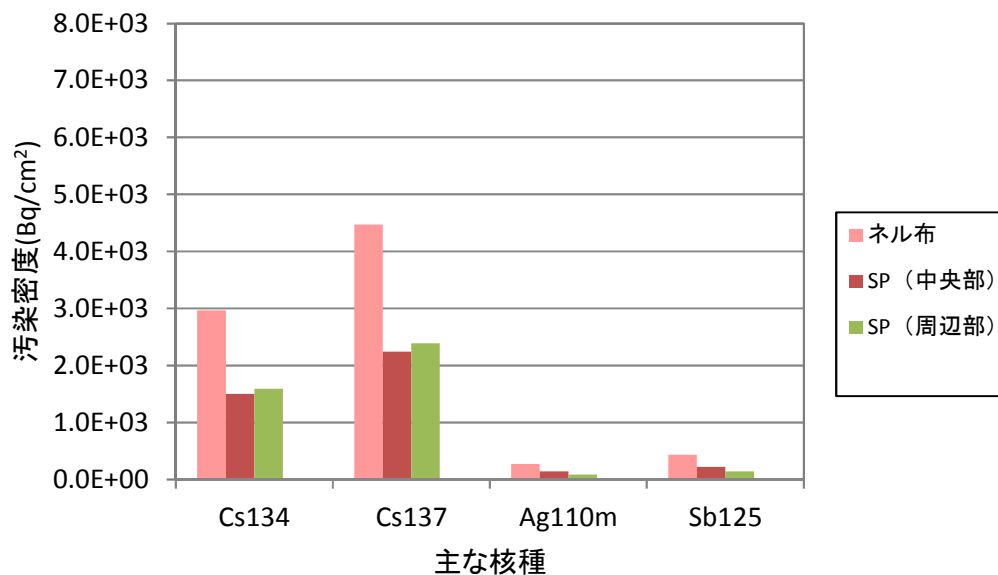


図 118 汚染密度の比較 (1号機 2階⑩床サンプル)

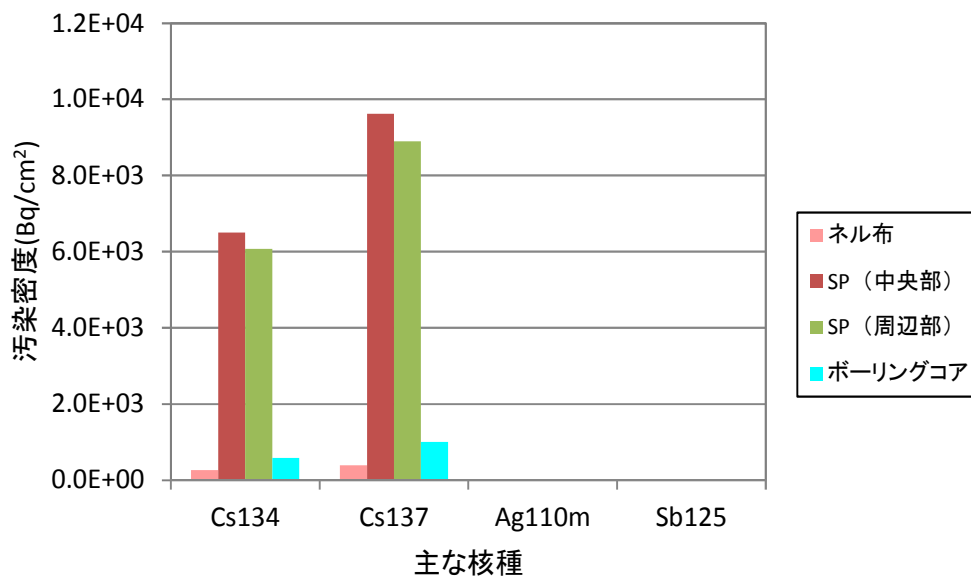


図 119 汚染密度の比較 (2号機 1階①床サンプル)

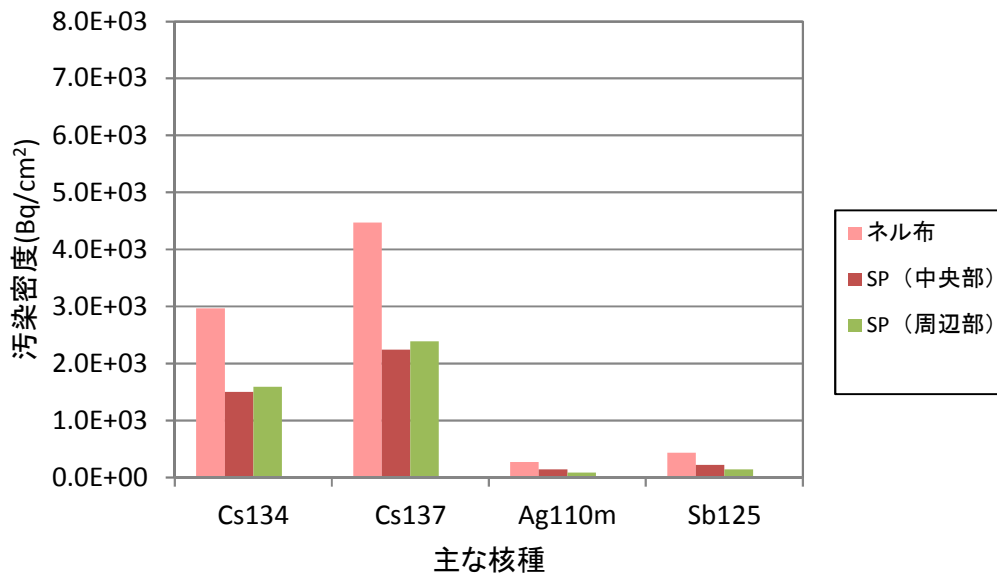


図 120 汚染密度の比較 (2号機 2階③床サンプル)

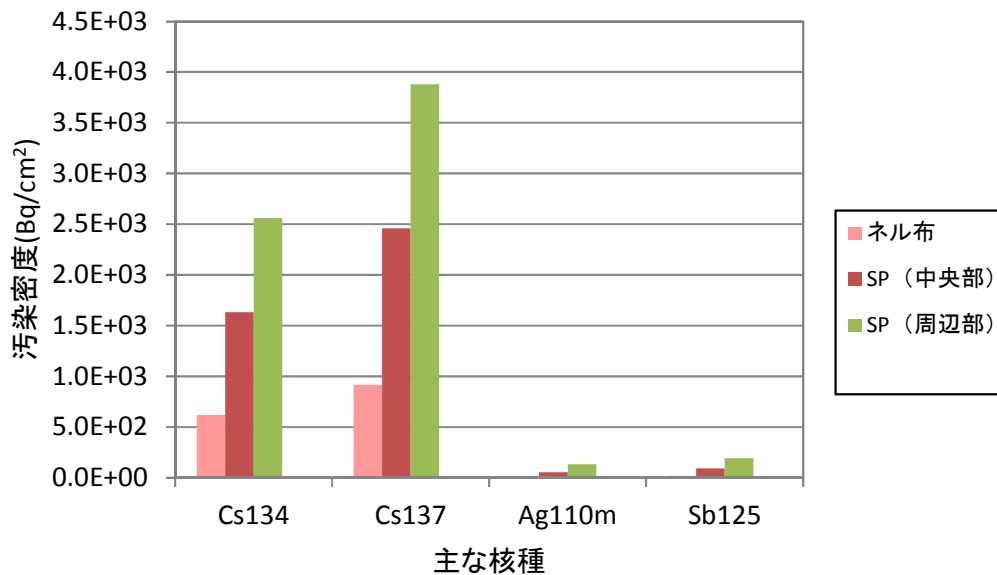


図 121 汚染密度の比較 (2号機 3階④床サンプル)

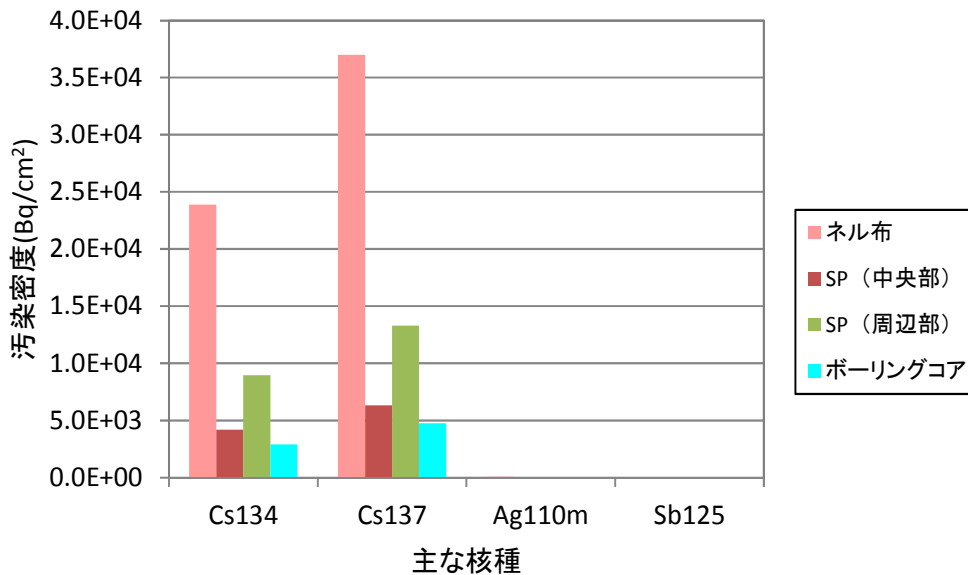


図 122 汚染密度の比較 (3号機 1階①床サンプル)

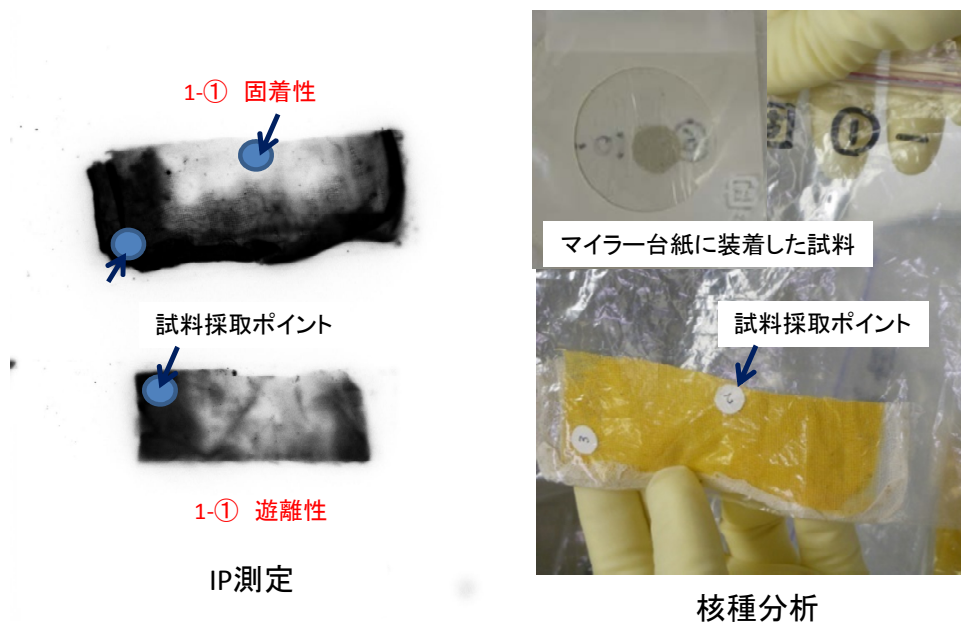


図 123  $\gamma$  核種分析用試料の採取位置と IP 測定結果の例